

$$\Phi(k, i) = \sum_{j=1}^{r_2} Z(k, j) W_2(j, i) + L_2(k, i); \quad (7)$$

$$f(k, i) = \sum_{j=1}^{r_3} H(k, j) W_3(j, i) + L_3(k, i); \quad (8)$$

$$f(k, i) = \sum_{j=1}^{r_4} Z(k, j) W_4(j, i) + L_4(k, i). \quad (9)$$

Здесь функционалы  $L_s(k, i)$  представляются выражениями

$$L_s(k, i) = \sum_{j=1}^{E_s} u(k, j) \alpha_s(j, i); \quad (10)$$

матрицы  $W_s(j, i)$  и  $\alpha_s(j, i)$  являются совокупностью линейных коэффициентов, определяемых методом наименьших квадратов;  $u(k, j)$  — различные комбинации спектров эталонов и образцов, состоящие из мешающих компонентов.

Изотопный состав  $u(k, j)$  не должен пересекаться с выделенными формами  $\Psi_m(k)$  в спектрах  $f(k, i)$ . Необходимость  $L_s(k, i)$  связана с возможностью неполноты систем  $\{\Phi(k, i)\}$  и  $\{f(k, i)\}$ .

В пределах статистических погрешностей объединенный коэффициент при спектре  $\Psi_m(k)$  должен быть равен нулю. Это дает возможность определить отношение  $B_m/A_m$ . Так как это отношение будет зависеть от исходных уравнений (6) — (9), то искомая оценка содержания

$$\rho_s(m, i) = \left[ \frac{B_m(i)}{A_m(i)} \right]_s \quad (11)$$

зависит от типа разложения ( $s = 1, 2, 3, 4$ ), представленных выражениями (6) — (9), номера изотопа-идентификатора элемента ( $m = 1, 2, \dots, q$ ), номера спектра образца или эталона ( $i = 1, 2, \dots, R$  или  $i = 1, 2, 3, \dots, p$ ). Поэтому, получив ряд величин  $\rho_s(m, i)$ , необходимо их усреднить с учетом того, что при фиксированных  $s$  и  $m$  группу оценок  $\rho_s(m, i)$  при  $i = 1, 2, \dots, R$  (или  $p$ ) можно считать почти статистически независимой; при других комбинациях индексов между оценками наблюдается значительная статистическая зависимость.

## Пространственное, угловое и энергетическое распределения быстрых нейтронов за трехслойными барьерами

В. Б. ЕЛАГИН, Г. Ц. ПЕКАРСКИЙ

В работе исследовалось пространственное, энергетическое и угловое распределения быстрых нейтронов точечного мононаправленного источника за трехслойными композициями железо — пластмасса — железо и вольфрам — окись алюминия — вольфрам в зависимости от толщины отдельных слоев входящих в состав композиций.

Расчет проводился на ЭВМ М-20 методом Монте-Карло для нейтронов с начальной энергией 14; 2,5 МэВ и для нейтронов спектра Ро — Ве-источника. Использовались многогрупповые константы \*. Для источника

\* Л. П. Абагян и др. Групповые константы для расчета ядерных реакторов. М., Атомиздат, 1964.

В выражение (11) статистически квазинезависимые переменные  $W_s(j, i)$  входят нелинейно. Следовательно, математическое ожидание  $\rho_s(m, i)$  может значительно отличаться от наиболее вероятного, т. е. необходимого для анализа, значения величины  $\rho_s(m, i)$ , которое получается подстановкой в (11) оценок  $W_s(j, i)$ , следующих из метода наименьших квадратов. По этой же причине статистический разброс оценок следует определять величиной

$$D^2[\rho_s(m, i)] = \int_{-\infty}^{\infty} [\rho_s(m, i) - \bar{\rho}_s(m, i)]^2 \times \\ \times \prod_{j=1}^{R, p} V[W_s(j, i)] dW_s(j, i), \quad (12)$$

в которой функция  $V[W_s(j, i)]$  является плотностью вероятности.

Интеграл (12) не имеет аналитического представления, поэтому следует использовать или численное интегрирование, или другой приближенный метод. Окончательное усреднение  $\rho_s(m, i)$  при вычисленных дисперсиях, заменяемых в данном случае величинами  $D[\rho_s(m, i)]$ , является стандартной процедурой и в описании не нуждается.

Применение программы частичной расшифровки [1] дает удовлетворительные результаты [2]. Но при этом могут возникнуть трудности из-за мешающих компонентов с периодами полураспада, близкими к периоду изотопа-идентификатора. Самосогласованный алгоритм не имеет такого недостатка, но нелинейность и статистическая зависимость в окончательной оценке потребуют определения деталей, делающих его эффективным.

Поступило в Редакцию 23/VIII 1971 г.

## ЛИТЕРАТУРА

- Н. В. Зиновьев. «Атомная энергия», 27, 128 (1969).
- Н. В. Зиновьев, Н. М. Мухамедшина. «Ж. аналит. химии», XXVI, 2127 (1971).

УДК 539.125.52

с  $E_0 = 14$  МэВ зависимость энергетического распределения рассеянных нейтронов за барьером железо — пластмасса — железо представлена на рис. 1. Цифры у кривых — толщина барьера в сантиметрах. Результаты нормированы к числу нейтронов в первом энергетическом интервале и характеризуют спектр нейтронов, проходящих через единичную площадку. Угловое распределение нейтронов представлено на рис. 2. Результаты нормированы к числу нейтронов в интервале углов  $0,95 < \cos \theta \leq 1,0$ .

Дифференциальные по углам и энергиям функции распределения тока нейтронов  $\bar{J}(z, \theta, E)$  и потока  $N(z, \theta, E)$  использовали для расчета некоторых функ-

1

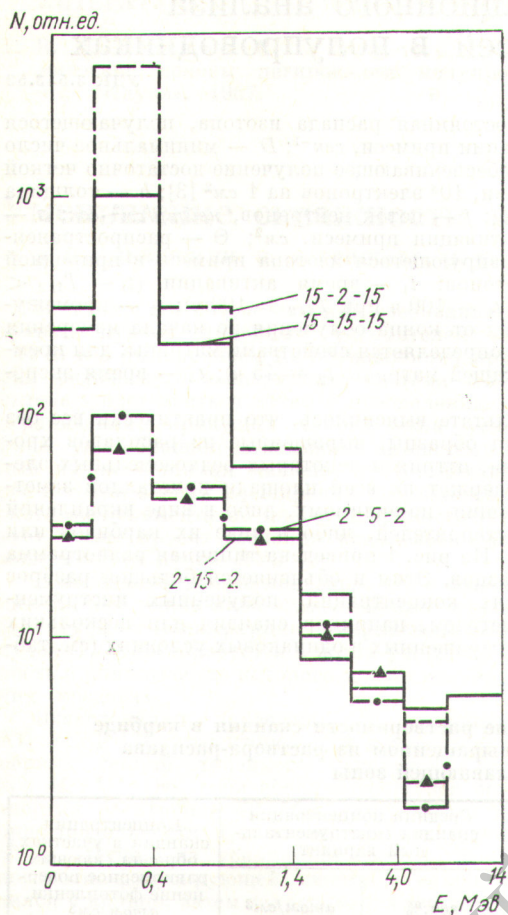


Рис. 1. Энергетическое распределение рассеянных нейтронов за барьером железо — пластмасса — железо для  $E_0 = 14$  МэВ.

ционалов поля излучения за барьерами. В частности, исследовали зависимость фактора накопления быстрых нейтронов от апертуры угла коллимации детектора.

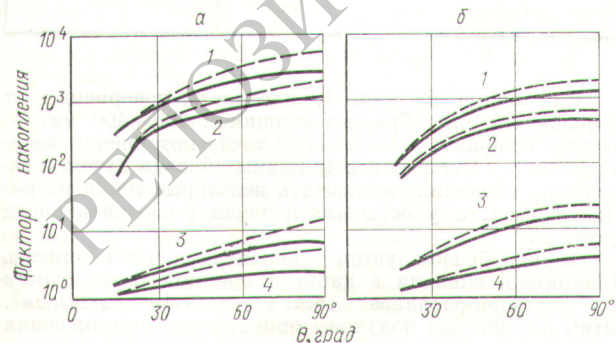


Рис. 3. Зависимость фактора накопления от угла коллимации детектора для композиции железо — пластмасса — железо толщиной, см: 1 — 15-15-15; 2 — 15-2-15; 3 — 2-15-2; 4 — 2-5-2.  $E_0 = 14$  МэВ (а);  $E_0 = 2,5$  МэВ (б).

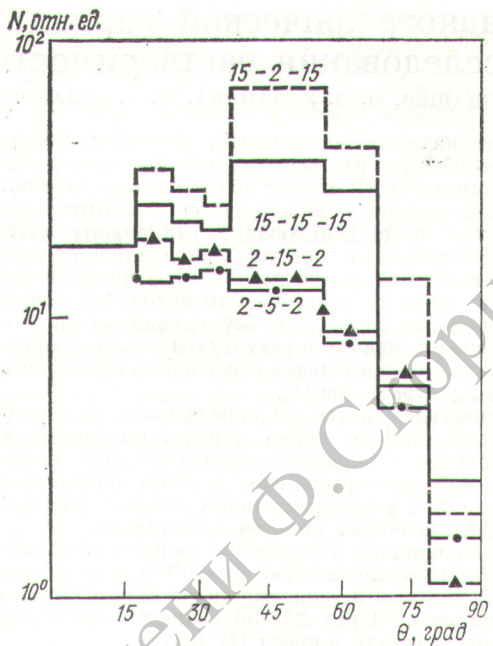
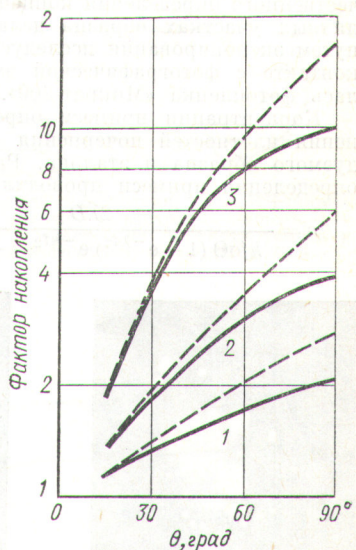


Рис. 2. Угловое распределение нейтронов за барьером железо — пластмасса — железо для  $E_0 = 14$  МэВ.

Рис. 4. Зависимость фактора накопления от угла коллимации для нейтронов спектра Ро — Ве-источника и композиции вольфрам — окись алюминия — вольфрам толщиной, см: 1 — 1-5-1; 2 — 2-5-2; 3 — 5-5-5.



Полученные результаты представлены на рис. 3,4. Сплошные кривые соответствуют фактору накопления тока нейтронов, а пунктирные — потока нейтронов.

Приведенные результаты позволяют определить влияние апертуры коллиматора на регистрируемый вклад рассеянных нейтронов и различие в показаниях детекторов тока и потока нейтронов.

Поступило в Редакцию 23/IX 1970 г.